

# Weierstrass-Enneperjeva reprezentacija minimalnih ploskev

Jon Pascal Miklavčič

Mentor: doc. dr. Uroš Kuzman

15. maj 2025

# Osnovni podatki in Plateaujev problem

Minimalne ploskve si bomo ogledali v Evklidskih prostorih. Seveda se na njih lahko gleda v poljubni Riemannovi mnogoterosti dimenzije vsaj 3, ampak v tem primeru ne obstaja vedno povezava s kompleksno analizo.

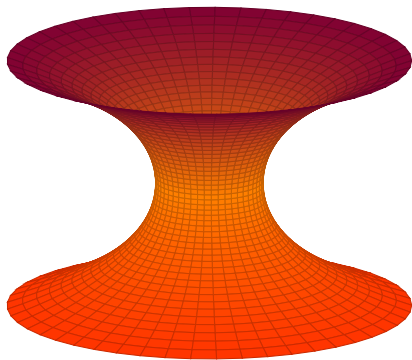
To so ploskve v prostoru, ki **lokalno minimizirajo ploščino** v smislu, da ima poljuben dovolj majhen del ploskve najmanjšo površino med vsemi ploskvami z istim robom.

Te ploskve se pojavijo naravno v našem svetu. Zakoni fizike pravijo, da bo milni mehurček, ki ga napenja sklenjena krivulja v prostoru dobil obliko minimalne ploskve.

Če vzamamo kos raztegljivega blaga v obliki diska in ga kot zaveso obesimo na krivuljo v prostoru, kjer pustimo, da se blago po robu prosto premika, bo zavzelo obliko minimalne ploskve. Pozicija točk na ploskvi pa bo glede na originalno pozicijo prestavljala **konformno parametizacijo**.

Eksperimenti z milnimi mehurčki. **Joseph Plateau** - 1873.

**Plateaujev problem** - Ali vsaka sklenjena Jordanova krivulja (krivulja homemorfna  $S^1$ ) v  $\mathbb{R}^3$  razpenja minimalno ploskev? Odgovor je pritrdilen, kar sta neodvisno dokazala Tibor Radó (1930) in Jesse Douglas (1932). Po drugi starni pa če bi vzeli 2 ali več Jordanovih krivulj, ni nujno, da jih lahko povezali z minimalno ploskvijo.



Slika: Katenoida

## Definicija

Minimalna ploskev v  $\mathbb{R}^3$  je taka, ki **lokalno minimizira ploščino** med vsemi bližnjimi ploskvami z istim robom.

Prva poznana minimalna ploskev.

Leta 1744 je Euler dokazal, da je ketenoida minimalna ploskev. Je edina netrivialna **rotacijska minimalna ploskev** v  $\mathbb{R}^3$ .

Dobimo jo z rotacijo grafa hiperboličnega kosinusa (t. i. “verižnice”) okoli izbrane osi v  $\mathbb{R}^3$ . Torej

$$x^2 + y^2 = \cosh^2 z$$

$$(\varphi, z) \mapsto (\cos \varphi \cdot \cosh z, \sin \varphi \cdot \cosh z, z).$$

## J. L. Lagrange 1760 - grafi z minimalno ploščino

Naj bo  $D$  omejena podmnožica ravnine  $\mathbb{R}^2$  z odsekoma  $\mathcal{C}^1$  robom  $\partial D$ . Naj bo funkcija  $f : \overline{D} \rightarrow \mathbb{R}$  razreda  $\mathcal{C}^2$  definirana na zaprtju  $\overline{D}$ . Njen graf je množica točk

$$\mathcal{G}_f = \{ (x, y, z) \in \mathbb{R}^3 \mid (x, y) \in \overline{D}, z = f(x, y) \}$$

in ima površino enako

$$\text{Area}(f) = \iint_D \sqrt{1 + f_x^2 + f_y^2} \, dx dy = \iint_D \sqrt{1 + |\nabla f|^2} \, dx dy.$$

Hočemo najti funkcije  $f$ , ki bodo imele najmanjšo ploščino med vsemi bližnjimi grafi nad  $\overline{D}$  z enakimi robnimi vrednostmi.

Izberemo  $\mathcal{C}^1$  funkcijo  $h : \overline{D} \rightarrow \mathbb{R}$ , za katero velja  $h(\partial D) \equiv 0$ . Za  $s \in \mathbb{R}$  si ogledamo naslednjo funkcijo:

$$s \mapsto \text{Area}(f + sh) \in \mathbb{R}_{\geq 0}.$$

Funkcija  $f$  bo stacionarna točka **ploščinskega funkcionala** natanko tedaj, ko bo pri  $s = 0$  za vse zgoraj opisane deformacije  $h$  veljalo

$$\left. \frac{d}{ds} \right|_{s=0} \text{Area}(f + sh) = 0.$$

To lahko razpišemo na

$$\begin{aligned}\left. \frac{d}{ds} \right|_{s=0} \text{Area}(f + sh) &= \iint_D \left. \frac{d}{ds} \right|_{s=0} \sqrt{1 + (f_x + sh_x)^2 + (f_y + sh_y)^2} \, dx dy \\ &= \iint_D \frac{f_x h_x + f_y h_y}{\sqrt{1 + f_x^2 + f_y^2}} \, dx dy \\ &= \iint_D \frac{\nabla f \cdot \nabla h}{\sqrt{1 + |\nabla f|^2}} \, dx dy\end{aligned}$$

Ker poznamo robne vrednosti deformacije  $h$  in funkcije  $f$  je na tem koraku smiselno uporabiti Gaussov izrek, ki bo zgornji integral po območju povezal integralom po robu tega območja.

Če upoštevamo, da za funkcijo  $h$  in vektorsko polje  $\mathbf{F}$  velja  $\text{div}(h\mathbf{F}) = \nabla h \cdot \mathbf{F} + h \cdot \text{div}(\mathbf{F})$  dobimo t. i. prvo Greenovo identiteto

$$\iint_D \nabla h \cdot \mathbf{F} \, dx dy = \oint_{\partial D} h \mathbf{F} \mathbf{n} \cdot d\mathbf{s} - \iint_D h \cdot \text{div}(\mathbf{F}) \, dx dy,$$

kjer je  $\mathbf{n}$  normala na rob območja. V našem primeru izberemo  $\mathbf{F} = \frac{\nabla f}{\sqrt{1 + |\nabla f|^2}}$ .

# J. L. Lagrange 1760 - enačba za minimalne grafe

Torej

$$\begin{aligned} \frac{d}{ds} \Big|_{s=0} \text{Area}(f + sh) &= \iint_D \nabla h \cdot \frac{\nabla f}{\sqrt{1 + |\nabla f|^2}} \, dx dy \\ &= - \iint_D h \cdot \operatorname{div} \left( \frac{\nabla f}{\sqrt{1 + |\nabla f|^2}} \right) \, dx dy, \end{aligned}$$

Zaradi zveznosti  $h$ , je izraz enak 0 za vse izbore  $h$  natanko takrat, ko je divergenca identično enaka 0 na  $D$ . To lahko zapišemo v naslednji obliki

$$\frac{\partial}{\partial x} \frac{f_x}{\sqrt{1 + |\nabla f|^2}} + \frac{\partial}{\partial y} \frac{f_y}{\sqrt{1 + |\nabla f|^2}} = \frac{(1 + f_y^2) f_{xx} - 2f_x f_y f_{xy} + (1 + f_x^2) f_{yy}}{(1 + |\nabla f|^2)^{3/2}} = 0,$$

kar je pa dalje ekvivalentno

$$(1 + f_y^2) f_{xx} - 2f_x f_y f_{xy} + (1 + f_x^2) f_{yy} = 0.$$

To je **Euler-Lagrangeova enačba** za ploščinski funkcional. Je eliptična PDE drugega reda, ki jo poznamo pod imenom **enačba za minimalne grafe**.

Na tej točki se naravno vprašamo, ali rešitev enačbe za minimalne grafe z zvezno določenimi robnimi vrednostmi na  $\partial D$  sploh obstaja in ali je enolična. Ta Dirichletov problem za enačbo minimalnega grafa je leta 1930 razrešil T. Radó za omejena konveksna območja  $D \subset \mathbb{R}^2$ . Rešitev je enolična in absolutno minimizira ploščino med *vsemi* ploskvami s takim robom.

# Ukrivljenost krivulj in ploskev

Enačbo za minimalne grafe bi si radi interpretirali na bolj geometrijski način. Pred tem si moramo najprej ogledati koncepta glavnih ukrivljenosti in povprečne ukrivljenosti ploskve v Evklidskem prostoru  $\mathbb{R}^n$ .

## Aksiom

Ukrivljenost krivulje ali ploskve je invariantna za afixne linearne preslikave  $\mathbb{R}^n \rightarrow \mathbb{R}^n$  oblike  $x \mapsto Ax + b$ , kjer je  $b \in \mathbb{R}^n$  in  $A \in O_n(\mathbb{R})$  iz ortogonalne grupe na  $\mathbb{R}^n$ . Takim preslikavam pravimo **toge**.

Toge preslikave so ravno izometrije Evklidske metrike na  $\mathbb{R}^n$ .

Enostavna posledica izreka o implicitni funkciji je ta, da lahko vsako gladko krivuljo  $C$  okoli točke  $p \in C$  predstavimo kot graf nad njeno tangento  $T_p C$ . Analogna trditev drži za ploskve.

Najprej si bomo ogledali ukrivljenost gladke krivulje v ravnini, torej  $C \subset \mathbb{R}^2$ . V tem primeru lahko poljubno točko  $p \in C$ , s togim premikom premaknemo v koordinatno izhodišče, njeno tangento  $T_p C$  pa na  $x$  os. Lokalno je torej krivulja  $C$  v okolici izhodišča graf gladke funkcije  $y = f(x)$ , definirane na intervalu okoli  $0 \in \mathbb{R}$ . Očitno velja  $f(0) = f'(0) = 0$ . Taylorjev razvoj  $f$  pri 0 se potem glasi

$$y = f(x) = \frac{1}{2} f''(0) x^2 + o(x^2),$$

kjer je  $h(x) = o(g(x)) \stackrel{\text{def}}{\iff} \lim_{x \rightarrow 0} \frac{h(x)}{g(x)} = 0$ .

Najdimo zdaj radij krožnice, ki se bo najbolje prilegala razvoju te funkcije v točki  $(0, 0)$ . Očitno je, da ima ta krožnica središče na  $y$  osi in se dotika grafa v točki  $(0, 0)$ , torej je oblike

$$x^2 + (y - r)^2 = r^2$$

za nek  $r \in \mathbb{R} \setminus \{0\}$ , razen v primeru, ko je  $f''(0) = 0$ , kadar pa dobimo  $r = \infty$ . Če to enačbo razrešimo na  $y$  v okolici  $(0, 0)$  dobimo

$$y = r - \sqrt{r^2 - x^2} = r - r\sqrt{1 - \frac{x^2}{r^2}} = r - r\left(1 - \frac{x^2}{2r^2} + o(x^2)\right) = \frac{1}{2r}x^2 + o(x^2).$$

Primerjava dobljene enačbe z enačbo razvojem  $f$  nam pokaže, da je za  $f''(0) \neq 0$

$$r = 1/f''(0) \in \mathbb{R} \setminus \{0\}.$$

Taki krožnici pravimo **pritisnjena krožnica**, recipročni vrednosti radija

$$\kappa = f''(0) = 1/r$$

pa **predznačena ukrivljenost** krivulje v  $(0, 0)$ . Njeno absolutno vrednost  $|\kappa| = |f''(0)| \geq 0$  imenujemo **ukrivljenost**,  $|r| = 1/|\kappa| = 1/|f''(0)|$  pa **krivinski radij**.



Naj bo  $S \subset \mathbb{R}^3$  gladka ploskev. Na ploskvi fiksiramo točko  $p \in S$ . S tega preslikavo lahko premaknemo  $p$  v  $(0, 0, 0)$  in  $T_p S$  v  $\mathbb{R}^2 \times \{0\}$ . Potem lahko  $S$  okoli koordinatnega izhodišča izrazimo kot graf oblike

$$z = f(x, y) = \frac{1}{2} \left( f_{xx}(0) x^2 + 2 f_{xy}(0, 0) xy + f_{yy}(0) y^2 \right) + o(x^2 + y^2).$$

Označimo z  $A$  Hessjevo matriko funkcije  $f$  v točki  $(0, 0)$ :

$$A = \begin{bmatrix} f_{xx}(0, 0) & f_{xy}(0, 0) \\ f_{xy}(0, 0) & f_{yy}(0, 0) \end{bmatrix}.$$

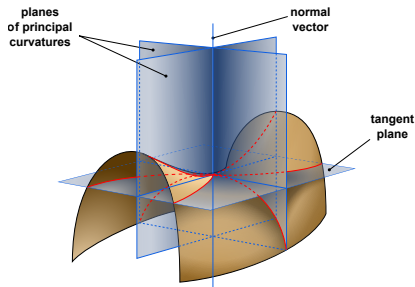
Izberemo si zdaj enotski vektor  $v = (v_1, v_2)$  v  $(x, y)$  ravnini. S  $\Sigma_v$  označimo ravnino skozi koordinatno izhodišče, ki jo razpenjata vektor  $v$  in koordinatna os  $z$ . Presečišče  $C_v := S \cap \Sigma_v$  je krivulja na  $S$  parametrizirana z

$$z = f(v_1 t, v_2 t) = \frac{1}{2} (Av \cdot v) t^2 + o(t^2)$$

za  $t \in \mathbb{R}$  blizu 0. Iz prejšnje drsnice o ukrivljenosti krivulj in dobljene formule vemo, da je

$$\kappa_v = Av \cdot v = f_{xx}(0) v_1^2 + 2 f_{xy}(0, 0) v_1 v_2 + f_{yy}(0) v_2^2$$

predznačena ukrivljenost krivulje  $C_v$  v točki  $(0, 0)$ .



Na enotski krožnici  $|v|^2 = v_1^2 + v_2^2 = 1$  kvadratna forma  $v \mapsto Av \cdot v$  doseže svoj maksimum  $\kappa_1$  in minimum  $\kappa_2$ ; ti dve vrednosti imenujemo **glavni ukrivljenosti** ploskve  $S$  v točki 0. Ker je matrika  $A$  simetrična sta  $\kappa_1$  in  $\kappa_2$  njeni lastni vrednosti. Vrednosti

$$H = \frac{1}{2}(\kappa_1 + \kappa_2) = \frac{1}{2} \operatorname{sl} A, \quad K = \kappa_1 \kappa_2 = \det A$$

imenujemo **povprečna ukrivljenost** in **Gaussova ukrivljenost** ploskve  $S$  v točki 0.

Sled matrike  $A$  je enaka  $\Delta f(0, 0) = f_{xx}(0, 0) + f_{yy}(0, 0)$ . Po drugi strani, pa je sled matrike enaka vsoti njenih lastnih vrednosti. To implicira

$$\Delta f(0, 0) = \kappa_1 + \kappa_2 = 2H.$$

# Geometrijska interpretacija enačbe za minimalne grafe

Naslednjo trditev je leta 1776 dokazal Meusnier in s tem karakteriziral minimalne grafe s srednjo ukrivljenostjo.

## Izrek

Funkcija  $f : D \rightarrow \mathbb{R}$  razreda  $\mathcal{C}^2$ , definirana na domeni  $D \subset \mathbb{R}^2$  reši enačbo za minimalne grafe

$$\mathcal{G}(f) := \left(1 + f_y^2\right) f_{xx} - 2f_x f_y f_{xy} + \left(1 + f_x^2\right) f_{yy} = 0$$

natanko tedaj, ko ima njen graf  $S = \mathcal{G}_f$  v vsaki točki ničelno srednjo ukrivljenost.

*Dokaz:*

Izberimo točko  $p_0 \in D$ . Evklidske koordinate, ki ohranijo  $z$  smer izberemo tako, da velja  $p_0 = (0, 0)$ ,  $f(0, 0) = 0$  in

$$f(x, y) = ax + O\left(x^2 + y^2\right), \quad \text{za } a \geq 0.$$

Ekvivalenco iz trditve je zato dovolj dokazati v točki  $(0, 0)$ . Izberimo si naslednjo ortonormirano bazo  $\mathbb{R}^3$ :

$$\mathbf{v}_1 = \frac{1}{\sqrt{1+a^2}}(1, 0, a), \quad \mathbf{v}_2 = (0, 1, 0), \quad \mathbf{v}_3 = \frac{1}{\sqrt{1+a^2}}(-a, 0, 1).$$

Vidimo, da  $\mathbf{v}_1$  in  $\mathbf{v}_2$  razpenjata tangentno  $T_0 S$  ravnino v  $(0, 0)$ ,  $\mathbf{v}_3$  pa je normala na  $T_0 S$ . Označimo z  $(u, v, w)$  Evklidske koordinate, ki so vezane na to bazo.

# Dokaz Meusnierjevega izreka

Torej se prvotne koordinate izrazijo kot

$$(x, y, z) = u\mathbf{v}_1 + v\mathbf{v}_2 + w\mathbf{v}_3.$$

V koordinatah  $(u, v, w)$  je ploskev  $S$  na okolici koordinatnega izhodišča podana kot graf oblike

$$w = g(u, v), \quad g(0, 0) = 0, \quad dg(0, 0) = 0.$$

Vemo, da je srednja ukrivljenost  $S$  v točki  $(0, 0)$  enaka  $2H = \Delta g(0, 0)$ . Za dokončanje dokaza bomo  $g$  prevedli na  $f$  in izrazili  $\mathcal{G}(f)(0, 0)$  z  $\Delta g(0, 0)$ .

V koordinatah  $(x, y, z)$  je ploskev  $S$  parametrizirana kot

$$x = \frac{1}{\sqrt{1+a^2}}(u - ag(u, v)), \quad y = v, \quad z = \frac{1}{\sqrt{1+a^2}}(au + g(u, v)).$$

Ker je  $S$  prav tako podana z  $z = f(x, y)$  dobimo izraz

$$au + g(u, v) = \sqrt{1+a^2} \cdot f\left(\frac{u - ag(u, v)}{\sqrt{1+a^2}}, v\right).$$

Ta izraz zdaj dvakrat odvajamo po  $u$  in po  $v$ :

$$g_{uu} = f_{xx} (1 - ag_u)^2 / \sqrt{1+a^2} + f_x (-ag_{uu})$$

$$g_{vv} = f_{xx} (-ag_v)^2 / \sqrt{1+a^2} + f_x (-ag_{vv}) + f_{xy} (-2ag_v) + f_{yy} \sqrt{1+a^2}.$$

## Dokaz Meusnierjevega izreka

Če ovrednotimo druge parcialne odvode pri  $(u, v) = (0, 0)$ , kar se ujema z  $(x, y) = (0, 0)$  in upoštevamo  $f_x(0, 0) = a$ ,  $f_y(0, 0) = 0$ ,  $g_u(0, 0) = g_v(0, 0) = 0$  dobimo

$$g_{uu}(0, 0) = f_{xx}(0, 0)/\sqrt{1 + a^2} - a^2 g_{uu}(0, 0)$$

$$g_{vv}(0, 0) = -a^2 g_{vv}(0, 0) + f_{yy}(0, 0)\sqrt{1 + a^2}$$

in tako

$$f_{xx}(0, 0) = \sqrt{1 + a^2}^3 g_{uu}(0, 0), \quad f_{yy}(0, 0) = \sqrt{1 + a^2} g_{vv}(0, 0)$$

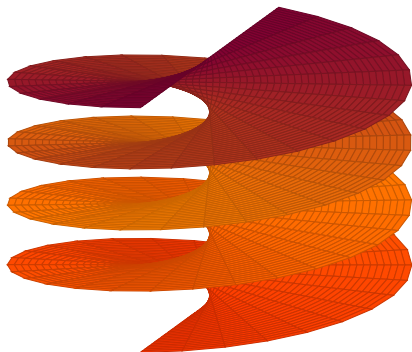
Tako pri  $(0, 0)$  dobimo

$$\begin{aligned} \mathcal{G}(f) &= (1 + f_y^2) f_{xx} - 2f_x f_y f_{xy} + (1 + f_x^2) f_{yy} \\ &= \sqrt{1 + a^2}^3 g_{uu} + (1 + a^2) \sqrt{1 + a^2} g_{vv} \\ &= \sqrt{1 + a^2}^3 \Delta g. \end{aligned}$$

To pokaže, da je  $\mathcal{G}(f)(0, 0) = 0$  natanko tedaj, ko je  $\Delta g(0, 0) = 2H = 0$ . □

### Definicija

Gladka ploskev v  $\mathbb{R}^3$  je **minimalna**, če je njena povprečna ukrivljenost v vsaki točki ničelna, t. j.  $\frac{1}{2}(\kappa_1 + \kappa_2) = 0$ .



Slika: Helikoid

Meusnier je leta 1776 dokazal, da je helikoid minimalna ploskev.

Dobimo ga tako, da premico v  $\mathbb{R}^2$  vrtimo in jo hkrati dvigujemo v smeri osi vrtenja. V kartezičnih koordinatah je podan kot

$$x = \rho \cos(\theta),$$

$$y = \rho \sin(\theta),$$

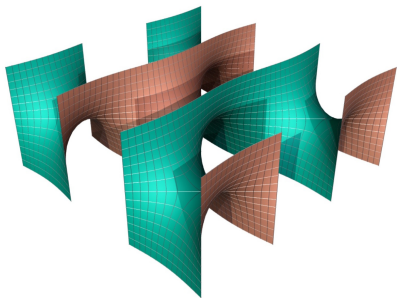
$$z = \theta,$$

za  $\rho$  in  $\theta$  od  $-\infty$  do  $\infty$ .

Poleg ravnine je to edina minimalna ploskev, ki jo lahko predstavimo kot unijo premic. Take ploskve imenujemo **premonosne plovke**.

# Scherkova ploskev - 1835

Heinrich Scherk leta 1835 odkrije 2 novi minimalni ploskvi. Prve nove odkrite minimalne ploskve po helikoidu.



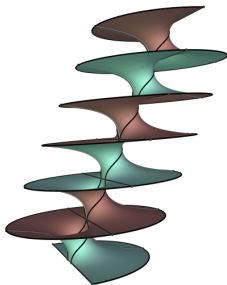
Prva Scherkova ploskev je invariantna pod dvema ortogonalnima translacijama, torej je dvojno preiodična. Njena glavna veja je graf nad kvadratom  $P = \left(-\frac{\pi}{2}, +\frac{\pi}{2}\right)^2$ , podana kot

$$z = \ln \cos y - \ln \cos x$$

Ta Scherkova ploskev ima največjo Gaussovo ukrivljenost v  $0 \in \mathbb{R}^3$  izmed vseh minimalnih grafov, ki ležijo nad kvadratom  $P$ , in sicer  $-1$ .

Torej, če hočemo, da graf minimalne ploskve obstaja nad določeno domeno, potem ne mora biti poljubno ukrivljen.

Minimalen graf v  $\mathbb{R}^3$  nad celotno ravnino je ravnina.



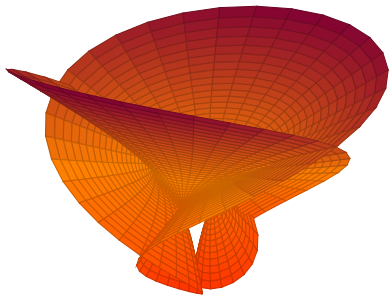
**Slika:** Eden Riemannovih minimalnih primerov

Proti koncu svojega življenja je Bernhard Riemann odkril družino enoparametričnih minimalnih ploskev  $R_\lambda$  za  $\lambda \in (0, \infty)$ . Parametrizirane so s periodičnimi ravninskimi domenami. Vsaka horizontalna ravnina se s ploskvijo seka v premici ali pa krožnici.

Ko pošljemo  $\lambda \rightarrow 0$  te ploskve konvergirajo h katenoidi, če pa pošlejšmo  $\lambda \rightarrow \infty$  konvergirajo h helikoidu.



# Hennebergova ploskev - 1875



Slika: Hennebergova ploskev

**Neorientabilna minimalna ploskev.** Do 1981 edina poznana neorientabilna minimlana ploskev. Podana je kot

$$x = 2 \cos(v) \sinh(u) - \frac{2}{3} \cos(3v) \sinh(3u),$$

$$y = 2 \sin(v) \sinh(u) + \frac{2}{3} \sin(3v) \sinh(3u),$$

$$z = 2 \cos(2v) \cosh(2u)$$

za  $u \in \mathbb{R}, v \in [0, 2\pi)$ .

# Analičen opis konformnih minimalnih ploskev

Izberimo koordinate  $(u, v)$  na  $\mathbb{R}^2$ . Naj bo  $D \subset \mathbb{R}^2$  omejeno območje z gladkim robom.

## Definicija (Imerzija)

Preslikava  $F : D \rightarrow \mathbb{R}^n$  ( $n \geq 2$ ) razreda  $\mathcal{C}^1$  je **imerzija**, če sta parcialna odvoda  $F_u = \partial F / \partial u$  in  $F_v = \partial F / \partial v$  linearno neodvisna v vsaki točki  $D$ .

Naj bo  $F : \bar{D} \rightarrow \mathbb{R}^n$  gladka imerzija. Predpostavimo, da lahko koordinate  $(u, v)$  izberemo tako, da je  $F$  **konformna preslikava**. To pomeni, da bo zanjo veljalo

$$|F_u| = |F_v|, \quad F_u \cdot F_v = 0.$$

Ta predpostavka sledi iz obstoja izotermalnih koordinat, kar bomo utemeljili kasneje. Poglejmo si spet **ploščinski funkcional**, ki ga lahko zapišemo kot

$$\text{Area}(F) = \iint_D |F_u \times F_v| \, dudv = \iint_D \sqrt{|F_u|^2 |F_v|^2 - |F_u \cdot F_v|^2} \, dudv$$

in **Dirichletov energetske funkcional**

$$\mathcal{D}(F) = \frac{1}{2} \iint_D |\nabla F|^2 \, dudv = \frac{1}{2} \iint_D (|F_u|^2 + |F_v|^2) \, dudv$$

Iz neenakosti

$$|x|^2 |y|^2 - |x \cdot y|^2 \leq |x|^2 |y|^2 \leq \frac{1}{4} (|x|^2 + |y|^2)^2, \quad \text{za } x, y \in \mathbb{R}^n$$

vidimo, da velja  $\text{Area}(F) \leq \mathcal{D}(F)$ , kjer velja enakost natanko tedaj, ko je  $F$  konformna.

# Konformna imerzija je minimalna natanko tedaj, ko je harmonična

Torej imata funkcionala Area in  $\mathcal{D}$  iste stacionarne točke na množici konformnih imerzij.

Izračunajmo prvo variacijo funkcionala  $\mathcal{D}$ . Če je  $h : \overline{D} \rightarrow \mathbb{R}^n$  gladka preslikava, za katero velja  $h(bD) \equiv 0$ , potem po uporabi prve Greenove identitete v zadnjem enačaju dobimo

$$\begin{aligned}\delta_h \mathcal{D}(F) &= \left. \frac{d}{dt} \right|_{t=0} \mathcal{D}(F + th) = \iint_D (F_u \cdot h_u + F_v \cdot h_v) \, dudv \\ &= \iint_D \nabla F \cdot \nabla h \, dudv \\ &= - \iint_D \operatorname{div}(\nabla F) \cdot h \, dudv.\end{aligned}$$

Ta izraz je enak 0 za poljuben  $h$  natanko tedaj, ko je  $\operatorname{div}(\nabla F) = \Delta X \equiv 0$ . S tem smo dokazali naslednji izrek.

## Izrek

*Konformna imerzija  $F : D \rightarrow \mathbb{R}^n$  ( $n \geq 3$ ) razreda  $\mathcal{C}^2$  je stacionarna točka plosčinskega funkcionala natanko tedaj, ko je  $F$  harmonična.*

# Izotermalne koordinate

Naj bo  $M$  gladka ploskev in  $F : M \rightarrow \mathbb{R}^n$  gladka imerzija.  $F$  na  $M$  določi **Riemannovo metriko**  $g = |F_u|^2 du^2 + (F_u \cdot F_v) (du dv + dv du) + |F_v|^2 dv^2$ . Za vsako točko  $p \in M$  obstaja okolica  $U \subset M$  s koordinatami  $(\tilde{u}, \tilde{v})$  v katerih Riemannova metrika  $g$  dobi enostavnejšo obliko

$$g = \lambda(u, v) (d\tilde{u}^2 + d\tilde{v}^2) \quad \text{za } \lambda(u, v) > 0.$$

Vsakim takim koordinatam  $(\tilde{u}, \tilde{v})$  pravimo **izotermalne koordinate** za Riemannovo metriko  $g$ . Naj bo  $\tilde{F} = \tilde{F}(\tilde{u}, \tilde{v})$  imerzija  $U \rightarrow \mathbb{R}^n$ , ki jo dobimo iz  $F$ , če  $(u, v)$  izrazimo z  $(\tilde{u}, \tilde{v})$ . Velja

$$|\tilde{F}_{\tilde{u}}|^2 = |\tilde{F}_{\tilde{v}}|^2 = \lambda, \quad \tilde{F}_{\tilde{u}} \cdot \tilde{F}_{\tilde{v}} = 0,$$

kar pomeni, da je  $\tilde{F} : U \rightarrow \mathbb{R}^n$  konformna imerzija. Obstoj izotermalnih koordinat je odkril C. F. Gauss za rotacijske ploskve. Splošnega dokaza ne bomo navajali.

Izotermalne koordinate vedno obstajajo, vendar le lokalno. Kaj pa **globalna situacija**? Po tem, kar smo povedali zgoraj vemo, da obstaja odprta povezana okolica  $U_i \subset M$  točke  $p$ , ki jo lahko parametriziramo z gladkim difeomorfizmom  $\phi_i^{-1} : V_i \subset \mathbb{R}^2 \rightarrow U_i$ , tako da je  $F \circ \phi_i^{-1} : V_i \rightarrow \mathbb{R}^n$  konformna vložitev. Če je  $\phi_j^{-1} : V_j \subset \mathbb{R}^2 \rightarrow U_j$ ,  $i \neq j$ , še ena taka lokalna parametrizacija dela ploskve  $U_j \subset M$ , kjer velja  $U_{ij} = U_i \cap U_j \neq \emptyset$ , potem je **prehodna preslikava**  $\phi_{ij} = \phi_j \circ \phi_i^{-1} : \phi_i(U_{ij}) \rightarrow \phi_j(U_{ij})$  konformni difeomorfizem med ravninskima domenama. Če  $\mathbb{R}^2$  identificiramo s kompleksno ravnino  $\mathbb{C}$ , vemo, da so konformni difeomorfizmi med pari povezanih odprtih domen v  $\mathbb{C}$  ali biholomorfni ali pa antibiholomorfni, glede na to, če ohranijo orientacijo.

# Konformne parametrizacije z Riemannovimi ploskvami

Paru  $(U_i, \phi_i)$ , kjer je  $U_i \subset M$  in  $\phi_i$  lokalna parametrizacija pravimo **lokalna karta** na  $M$ . Zbirki vseh lokalnih kart, ki pokrijejo  $M$ , t. j.  $\mathcal{U} = \{(U_i, \phi_i) \mid i \in I\}$ , kjer je  $\{U_i\}_{i \in I}$  odprto pokritje  $M$ , pravimo **atlas**. Če so prehodne preslikave  $\phi_{ij}$  konformne atlasu  $\mathcal{U}$  pravimo **konformna struktura** na  $M$ . Ploskev  $M$ , opremljena s konformno strukturo je **konformna ploskev**. Če je  $M$  orientabilna in v konformnem atlasu izberemo za prehodne preslikave  $\phi_i$  biholomorfne funkcije, dobimo **Riemannovo ploskev**  $(M, \mathcal{U})$ .

Za konformno ploskev  $M$  je princip konformne imerzije  $M \rightarrow \mathbb{R}^n$  dobro definiran, če nanjo gledamo v lokalnih koordinatah, določenih s konformnim atlasom. Tudi definicija harmonične funkcije je dobra v lokalnih koordinatah.

## Posledica

*Vsako minimalno ploskev v  $\mathbb{R}^n$  lahko parametriziramo s konformno harmonično preslikavo iz Riemannove oz. konformne ploskve. Natančneje, konformna imerzija  $M \rightarrow \mathbb{R}^n$  parametrizira minimalno ploskev natanko tedaj, ko je harmonična preslikava.*

Glavna ugotovitev je, da so naravne izvirne ploskve, ki jih je smiselno upoštevati (pri parametrizaciji minimalnih ploskev) Riemannove ploskve v orientabilnem primeru in konformne ploskve v neorientabilnem primeru.

## Povezava s kompleksno analizo

Naj bo  $z = u + iv$  kompleksna spremenljivka na  $\mathbb{C}$ . Iz kompleksne analize se spomnimo dveh operatorjev, imenovanih **Wirtingerjeva odvoda**, ki sta definirana kot

$$\frac{\partial}{\partial z} = \frac{1}{2} \left( \frac{\partial}{\partial u} - i \frac{\partial}{\partial v} \right), \quad \frac{\partial}{\partial \bar{z}} = \frac{1}{2} \left( \frac{\partial}{\partial u} + i \frac{\partial}{\partial v} \right).$$

Jedro  $\frac{\partial}{\partial \bar{z}}$  sestavljajo holomorfne funkcije, jedro  $\frac{\partial}{\partial z}$  pa antiholomorfne funkcije. Glede na tedva operatorja, se Laplaceov operator izrazi kot

$$\Delta = \frac{\partial^2}{\partial u^2} + \frac{\partial^2}{\partial v^2} = 4 \frac{\partial}{\partial \bar{z}} \frac{\partial}{\partial z} = 4 \frac{\partial}{\partial z} \frac{\partial}{\partial \bar{z}}.$$

Vidimo, da je preslikava  $X = (X_1, X_2, \dots, X_n) : D \rightarrow \mathbb{R}^n$  harmonična natanko tedaj, ko je preslikava  $x = (x_1, x_2, \dots, x_n) : D \rightarrow \mathbb{C}^n$  s komponentami  $x_j = \partial X_j / \partial z$  za  $j = 1, 2, \dots, n$  holomorfna in funkcije  $x_j$  nimajo skupne ničle. Poleg tega je konformnost  $X$  ekvivalentna naslednjemu pogoju

$$|X_u|^2 = |X_v|^2, \quad X_u \cdot X_v = 0 \iff \sum_{k=1}^n x_k^2 = 0 \quad \text{na } D.$$

Analogen rezultat velja tudi, če  $D$  poljubna **odprta Riemannova ploskev**. Videli smo že, da vsaka imerzija orientabilne ploskve v  $\mathbb{R}^n$  premore konformno parametrizacijo z Riemannove ploskve.

# Weierstrass-Enneperjeva reprezentacija minimalnih ploskev

## Izrek (Weierstrass-Enneperjev reprezentacijski izrek)

Naj bo  $D$  povezano območje v  $\mathbb{C}$ . Preslikava  $X = (X_1, X_2, \dots, X_n) : D \rightarrow \mathbb{R}^n$  razreda  $\mathcal{C}^2$  parametrizira konformno minimalno ploskev  $X(D) \subset \mathbb{R}^n$  natanko tedaj, ko je

$$x = (x_1, x_2, \dots, x_n) : D \rightarrow \mathbb{C}^n \setminus \{0\} \quad \text{holomorfna in velja} \quad \sum_{k=1}^n x_k^2 = 0.$$

Po drugi strani pa preslikava  $x = (x_1, x_2, \dots, x_n) : D \rightarrow \mathbb{C}_*^n = \mathbb{C}^n \setminus \{0\}$ , ki zadošča pogoju  $\sum_{k=1}^n x_k^2 = 0$  in ima ničelno periodo

$$\Re \oint_C x \, dz = 0 \quad \text{za vsako sklenjeno krivuljo } C \subset D$$

določi konformno minimalno imerzijo  $X : D \rightarrow \mathbb{R}^n$ , podano s

$$X(z) = c + \Re \int_{z_0}^z x(\zeta) \, d\zeta, \quad z \in D$$

za poljubno začetno točko  $z_0 \in D$  in vektor  $c = (c_1, c_2, \dots, c_n) \in \mathbb{R}^n$ .

Pogoj za ničelnost periode zagotovi, da je integral dobro definiran, t. j. neodvisen od poti integriranja.

# Prva homološka grupa in homološki razred

Definirajmo še en topološki pojem. Naj bo  $M$  Riemannova ploskev in  $x_0 \in M$ . Gledamo sklenjene krivulje na  $M$ , ki gredo skozi izbrano točko, natančneje, zvezne preslikave

$$\gamma : [0, 1] \rightarrow M, \quad \gamma(0) = \gamma(1) = x_0.$$

Označimo množico vseh takih krivulj z  $\Gamma(x_0)$  in na njej vpeljimo ekvivalenčno relacijo  $\sim$  na naslednji način:  $\gamma_1 \sim \gamma_2 \Leftrightarrow$  obstaja zvezna preslikava  $H : [0, 1] \times [0, 1] \rightarrow M$ , ki zadošča:

- $H(0, s) = H(1, s) = x_0$  za vse  $s \in [0, 1]$ ,
- $H(t, 0) = \gamma_1(t)$  in  $H(t, 1) = \gamma_2(t)$  za vse  $t \in [0, 1]$ .

Preslikavo  $H$  imenujemo **homotopija**, krivulji, ki premoreta homotopijo pa **homotopsko ekvivalentni**. Kvocientno množico  $\Gamma(x_0) / \sim = \pi_1(M, x_0)$  opremimo z operacijo lepljenja  $\gamma_1 * \gamma_2 : [0, 1] \rightarrow M$ :

$$(\gamma_0 * \gamma_1)(t) = \begin{cases} \gamma_1(2t) & ; 0 \leq t \leq \frac{1}{2} \\ \gamma_2(2t - 1) & ; \frac{1}{2} \leq t \leq 1 \end{cases}.$$

Dobljeno grupo  $\pi_1(M, x_0)$  imenujemo **prva fundamentalna grupa**  $M$  glede na  $x_0$ , njeno abelacijo  $H_1(M, \mathbb{Z})$  pa **prva homološka grupa**  $M$  s celimi koeficienti.

Naj bo  $D \subset \mathbb{C}$  omejena povezana domena. **Homološki razred** v  $H_1(D, \mathbb{Z})$  predstavlja ekvivalenčni razred sklenjenih zank v domeni  $D$ , kjer sta dve zanki **homologni**, če *skupaj* tvorita rob neke ploskve, ki leži znotraj  $D$ . Intuitivno to pomeni, da zanemarimo lokalne deformacije in nas zanima le, kolikokrat in v katero smer se zanka ovije okoli posameznih **lukenj** v domeni, kjer luknje definiramo kot omejene povezane komponente komplementa  $\mathbb{C} \setminus D$ .



# Generatorji, homološka baza in ničelna kvadrika

Če je  $D \subset \mathbb{C}$ , tako kot prej, omejena povezana domena, katere rob  $\partial D$  je sestavljen iz  $l_1$  Jordanovih krivulj ter  $l_2$  izoliranih točk, potem je prva homološka grupa  $H_1(D, \mathbb{Z}) \cong \mathbb{Z}^\ell$ , kjer  $\ell = l_1 + l_2 - 1$ . **Generatorji** te proste abelove grupe so homološki razredi zank, ki obkrožajo posamezne luknje v  $D$ . Vsaka taka luknja prispeva po en generator. Če ima  $D$  eno luknjo, potem je  $H_1(D, \mathbb{Z}) \cong \mathbb{Z}$ , homološki razred zanke pa je določen z enim celim številom - številom ovitij okoli luknje. **Homološka baza** je množica krivulj  $\{\gamma_1, \dots, \gamma_\ell\} \subset D$ , kjer velja, da so homološki razredi  $[\gamma_1], \dots, [\gamma_\ell]$  medseboj linearno neodvisni ter da lahko vsak drug homološki razred zapišemo kot  $[\gamma] = n_1 [\gamma_1] * \dots * n_\ell [\gamma_\ell]$ , za  $n_i \in \mathbb{Z}$ .

Definirajmo **ničelno kvadriko**

$$\mathbb{A} = \mathbb{A}^{n-1} = \left\{ z = (z_1, \dots, z_n) \in \mathbb{C}^n \mid z_1^2 + z_2^2 + \dots + z_n^2 = 0 \right\}.$$

Iz formulacije Weierstrass-Enneperjevega reprezentacijskega izreka je očitno, da ničelna kvadrika igra ključno vlogo v teoriji minimalnih ploskev. Če ji odstartimo izhodišče dobimo **punktriano ničelno kvadriko**  $\mathbb{A}_* = \mathbb{A} \setminus \{0\}$ .

Vse konformne minimalne ploskve  $D \rightarrow \mathbb{R}^n$  dobimo kot integrale holomorfnih preslikav  $f : D \rightarrow \mathbb{A}_* \subset \mathbb{C}^n$ , ki zadostujejo pogoju za ničelno periodnost. Ker je  $f$  holomorfná, je dovolj da pogoj za ničelno periodnost preverimo na homološki bazi  $H_1(D, \mathbb{Z})$ . Če je  $D$  enostavno povezano območje je pogoj izpolnjen na prazno.

## Weierstrass-Enneperjeva formula v dimenziji $n = 3$

V dimenziji  $n = 3$  ničelna kvadrika premore dvojno holomorfno pokritje  $\phi : \mathbb{C}_*^2 \rightarrow \mathbb{A}_*^2$

$$\phi(z, w) = (z^2 - w^2, i(z^2 + w^2), 2zw)$$

Označimo  $\partial X = \frac{\partial X}{\partial z} dz$ . Weierstrass-Enneperjeva formula za konformno minimalno imerzijo  $X = (X_1, X_2, X_3) : D \rightarrow \mathbb{R}^3$  dobi bolj konkretno obliko:

$$X(z) = z_0 + \Re \int_{z_0}^z \left( \frac{1}{2} \left( \frac{1}{g} - g \right), \frac{i}{2} \left( \frac{1}{g} + g \right), 1 \right) \partial X_3,$$

kjer je

$$g = \frac{\partial X_3}{\partial X_1 - i \partial X_2} : D \longrightarrow \mathbb{CP}^1 = \mathbb{C} \cup \{\infty\}$$

holomorfna preslikava na Riemannovo sfero (torej meromorfna funkcija na  $D$ ), ki ji pravimo **kompleksna Gaussova preslikava**. Določa veliko pomembnih lastnosti minimalne ploskve. Kompleksno Gaussovo preslikavo dobimo, če standardno Gaussovo preslikavo

$$\mathbf{N} = \frac{X_x \times X_y}{|X_x \times X_y|} : M \rightarrow S^2 \subset \mathbb{R}^3,$$

komponiramo s stereografsko projekcijo  $S^2 \rightarrow \mathbb{CP}^1$ .

Torej za konstrukcijo minimalne ploskve s pomočjo Weierstrass-Enneperjeve formule izberemo poljubno meromorfno funkcijo  $g$  diferencial  $\partial X_3 = f(z) dz$ , kjer dodatno velja, da sta  $f g$  in  $f/g$  holomorfni funkciji, ki nimata skupne ničle. Integral mora zadoščati pogoju za ničelnost realne periode.

## Primer: Helikoid

Izberimo  $g = e^{iz}$  in diferencial  $\partial X_3 = dz$ . Weierstrass-Enneperjeva reprezentacija v kompleksni koordinati  $z = u + iv \in \mathbb{C}$  je

$$X(z) = \Re \int_0^z \left( \frac{1}{2} \left( \frac{1}{e^{i\zeta}} - e^{i\zeta} \right), \frac{i}{2} \left( \frac{1}{e^{i\zeta}} + e^{i\zeta} \right), 1 \right) d\zeta.$$

Prva komponenta:

$$\begin{aligned} X_1 &= \Re \int_0^z \frac{1}{2} \left( \frac{1}{e^{i\zeta}} - e^{i\zeta} \right) d\zeta \\ &= \Re \left( \frac{i}{2} (e^{-iz} + e^{iz}) \right) \\ &= \frac{1}{2} \Re (e^{-v} (\cos u + i \sin u) + e^v (\cos u - i \sin u)) \\ &= \sin u \left( \frac{e^v - e^{-v}}{2} \right) \\ &= \sin u \cdot \sinh v. \end{aligned}$$

Druga komponenta:

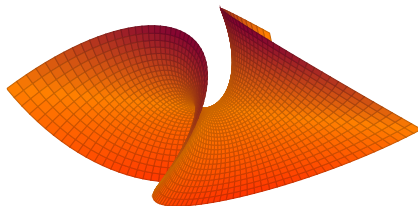
$$\begin{aligned} X_2 &= \Re \int_0^z \frac{i}{2} \left( \frac{1}{e^{i\zeta}} + e^{i\zeta} \right) d\zeta \\ &= \Re \left( \frac{i}{2} (ie^{-iz} - ie^{iz}) \right) \\ &= \frac{1}{2} \Re (e^{-v} (\cos u + i \sin u) - e^v (\cos u - i \sin u)) \\ &= -\cos u \left( \frac{e^v - e^{-v}}{2} \right) \\ &= -\cos u \cdot \sinh v. \end{aligned}$$

$$\text{Tretja komponenta: } X_3 = \Re \int_0^z 1 d\zeta = \Re (u + iv) = u.$$

Vidimo, da je to ravno reparametrizacija helikoida, ki smo ga videli na začetku.

$$X(u, v) = (\sin u \cdot \sinh v, -\cos u \cdot \sinh v, u).$$

Poznamo tudi primere minimalnih ploskev, ki si delijo isto Gaussovo preslikavo.



Slika: Enneperjeva ploskev

Za Gaussovo preslikavo izberemo  $g(z) = z$ . Če vzamemo  $\partial X_3 = 2zdz$  dobimo Enneperjevo ploskev, če pa vzamemo  $\partial X_3 = \frac{dz}{z}$  pa dobimo katenoid. Eksplicitno povedano:

$$\text{Enneperjeva ploskev} \quad X(z) = \Re \int_0^z \left( \frac{1}{2} \left( \frac{1}{\zeta} - \zeta \right), \frac{i}{2} \left( \frac{1}{\zeta} + \zeta \right), 1 \right) 2\zeta d\zeta,$$

$$\text{Katenoida} \quad X(z) = (1, 0, 0) - \Re \int_1^z \left( \frac{1}{2} \left( \frac{1}{\zeta} - \zeta \right), \frac{i}{2} \left( \frac{1}{\zeta} + \zeta \right), 1 \right) \frac{dz}{\zeta}.$$

# Holomorfne ničelne krivulje

Holomorfna imerzija  $F = (F_1, \dots, F_n) : D \rightarrow \mathbb{C}^n$  za  $n \geq 3$  in  $D \subset \mathbb{C}$ , ki zadošča

$$(F'_1)^2 + (F'_2)^2 + \dots + (F'_n)^2 = 0$$

je **holomorfna ničelna krivulja**. Vsaka taka je oblike

$$F(z) = c + \int_{z_0}^z f(\zeta) d\zeta, \quad z \in D,$$

kjer je  $z_0 \in D$ ,  $c \in \mathbb{C}^n$  in  $f : D \rightarrow \mathbb{A}_*$  holomorfna preslikava, za katero velja

$$\oint_C f dz = 0 \quad \text{za vsako krivuljo } [C] \in H_1(D, \mathbb{Z}).$$

Torej, vsaka holomorfna funkcija, ki slika iz enostavnega povezanega območja v punktirano ničelno kvadriko določa holomorfno ničelno krivuljo po zgornji formuli.

Če je  $F = X + iY : D \rightarrow \mathbb{C}^n$  holomorfna ničelna krivulja, potem sta njen realni del  $X = \Re F : D \rightarrow \mathbb{R}^n$  in njen imaginarni del  $Y = \Im F : D \rightarrow \mathbb{R}^n$  konformni minimalni ploskvi. Ker sta  $X$  in  $Y$  harmonični konjugiranki, pravimo, da sta **konjugirani minimalni ploskvi**.

Konformnim minimalnim ploskvam iz 1-parametrične družine

$$G_t = \Re(e^{it} F) : D \longrightarrow \mathbb{R}^n, \quad \text{za } t \in \mathbb{R}$$

pravimo **pridružene minimalne ploskve** holomorfne ničelne krivulje  $F$ .

## Primer: katenoid in helikoid

Katenoid in helikoid sta konjugirani minimalni ploskvi - realen in imaginaren del ničelne krivulje

$$F(\zeta) = (\cos \zeta, \sin \zeta, -i\zeta), \quad \zeta = x + iy \in \mathbb{C}.$$

Oglejmo si pridružene minimalne ploskve te ničelne krivulje:

$$\begin{aligned} G_t(\zeta) &= \Re \left( e^{it} F(\zeta) \right) \\ &= \cos t \begin{pmatrix} \cos x \cdot \cosh y \\ \sin x \cdot \cosh y \\ y \end{pmatrix} + \sin t \begin{pmatrix} \sin x \cdot \sinh y \\ -\cos x \cdot \sinh y \\ x \end{pmatrix} \end{aligned}$$

Pri  $t = 0$  imamo katenoid in pri  $t = \pm\pi/2$  pa helikoid.

Slika: Helikatenoid

HVALA ZA POZORNOST!

